



Ni과 Cr 함량이 다른 원자로 압력용기용 강의 중성자 조사 후 내식성 평가

최 용*

단국대학교 신소재공학과

Corrosion Behaviors of Neutron-Irradiated Reactor Pressure Vessel Steels with Various Nickel and Chromium Contents

Yong Choi*

Department of Materials Science and Engineering, Dankook University,
Dandae-ro 119, Dongnam-gu, Cheonan, Chungnam, 31119 Republic of Korea

(Received 1 October, 2019 ; revised 4 October, 2019 ; accepted 6 November, 2019)

Abstract

Quasi-nano-hardness and corrosion behaviors of neutron-irradiated reactor pressure vessel (RPV) steels such as 15Ch2MFA (Ni<0.4, 2.5<Cr<3.0) and 15Cr2NHFA (Ni<1.0, 0.8<Cr<2.3) were determined to develop a high strength and high corrosion resistance RPV steels and to establish a unique experimental method to reduce nuclear waste. Neutron irradiation test was carried out in an experimental reactor at 320°C with maximum fluency of 4.8×10^{20} n/cm² (En>1.0 MeV) for 32 days. Quasi-nano-hardnesses of the 15Ch2MFA and 15Cr2NHFA steels were 183.8 and 179.8 Hv, respectively. Their corrosion rates and corrosion potentials were 2.4×10^{-4} Acm⁻², -515.9 mV_{SHE} and 6.8×10^{-4} Acm⁻², -523.6 mV_{SHE} in NACE standard TM0284-96 solution at room temperature, respectively. 15Ch2MFA steel showed better quasi-nano-hardness and corrosion resistance than 15Cr2NHFA steel in this test condition.

Keywords: Reactor pressure vessel steels, Nano-hardness, Corrosion, Neutron irradiation tests

1. 서 론

현재 환경 보존의 문제로 원자력 관련 산업은 방사선 폐기물을 최소화하려는 연구에 관심을 모우고 있다. 이와 같은 연구 환경 때문에 소재 개발의 선진국에서는 소재 선정과 실험 방법에 있어서 기존의 기계적 강도와 내식성 같은 성능을 유지하면서 친환경 재료(eco-friendly material)를 개발 또는 선정하는 연구가 활발히 진행되고 있다[1]. 친환경 소

재는 크게 세가지 개념으로 정의된다 : (1) 폐자원의 재활용(2) 공해물질의 사용량 억제 (3) 최소 폐기물 양산 공정 개발과 관련 소재를 선정이다. 원자력 분야에서도 이와 같은 환경 친화적 소재를 선정하여 사용한다면 나름대로 환경 보호에 기여할 수 있다[2].

원자력 산업 분야의 소재를 친환경적으로 대체하기 위하여서는 원자로의 고유 특성상 방사선 폐기물의 양을 줄일 수 있는 개념이 폐자원을 재활용 개념 보다 더 효과적이다. 이와 같은 개념을 상용 원자로용 소재 개발에 적용하려면 국제 원자력 안전 기구(IAEA)에서 인증하여야 하므로 한정된 소재만을 고려하여야 한다. 현재 사용 중인 금속 소재는 크게 5가지이다 : 강(steel), 티타늄합금(titanium

*Corresponding Author: Yong Choi

Department of Materials Science and Engineering, Dankook University, Dandae-ro 119 Don gnam-gu Cheonan Chungnam, 31116, Republic of Korea
Tel: +82-41-550-3537 ; Fax: +82-41-559-7866
E-mail: yochoi@dankook.ac.kr

alloy), 스테인레스 강(stainless steels), 지르코늄 합금(zirconium alloy), 인코넬 합금(Inconel)이다.

현재 소재 선진국이 선정한 친환경성 강제 설계 방향은 저합금강을 제조하여 재활용이 용이하고 제조 공정 중에 발생하는 폐기물의 양을 줄이는 것이다. 합금 량의 감소로 인한 내식성과 기계적 특성 약화는 열처리와 냉간 가공 조건 개선으로 보완하고 있다. 이외에도 원자로에서 조사된 재료는 재활용이 불가능하므로 사용 후 방사선 폐기물을 줄이기 위한 신개념의 연구 방법이 도입되어야 한다.

개발된 원자로용 친환경 소재인 ASME SA508-3과 SA533-B1강은 페라이트계 저합금강이고 12Cr-1MoV합금인 HT9를 개량한 HT9M은 Cr 함량을 10%로 감소시킨 것이다. 이와 같은 구조용 소재는 사용 조건상 방사선과 중성자 조사 조건에서 고유의 기계적 특성과 내식성을 유지하여야 한다. 이때 조사 손상(radiation damage)이 진행될 수 있으므로 원자로 용 소재로 적용되려면 필히 중성자 조사 시험을 거쳐서 검증이 되어야 한다.

재료의 조사 손상 정도를 평가하는 방법으로는 충격시험, 미세조직관찰, 비파괴검사법이 있다. 충격시험은 비교적 단순하고 인성(toughness)을 정량적으로 평가하는 실험이지만 시편의 크기가 커서 방사성 폐기물의 양이 많은 단점이 있다. 미세조직을 투과전자현미경(transmission electron microscopy)으로써 관찰하면 시편이 매우 작아서 방사성 폐기물이 상대적으로 적은 장점이 있으나 시편 준비가 상대적으로 어렵다. 바크하우젠 노이즈 증폭(Barkhusen Noise Amplitude, BNA)과 같은 비파괴 검사법은 미세조직 변화에 의한 자화(magnetization)로써 자구벽(domain wall)의 이동 효과를 Barkhausen 신호로 평가하는 것이다. Barkhausen 신호는 조사 손상에 의한 크라우디언(crowdion), 프랭크 쌍(Frenkel pair), 석출물(precipitate)로써 자구벽이 고착(pinning)되면 크게 변하는 단점이 있다.

최근 들어 소량의 시편을 이용하여 기계적 특성을 평가하는 동적 나노압침법(dynamic nano-indentation method)이 개발되어 표면의 경도 변화와 이를 통한 마찰계수와 피로 강도를 상대 평가하는 실험 방법이 많이 연구되고 있다. 나노 압침법(nano-indentation method)은 미세한 압침자에 적은 하중을 가하여 표면을 평가하는 방법으로 일반적으로 다양한 소재의 표면의 기계적 특성을 평가할 수 있으며 시편이 작아도 되는 장점이 있고 실험 후 폐기되는 시료의 양을 줄일 수 있는 강점이 있다. 하지만 이를 방사선이나 중성자 조사 후 시편에 적용하기 위하여서는 시험용 원자로에서의 실험 온도

때문에 표면에 생성된 미세한 산화막의 효과를 제거시켜야 보다 정확한 조사 후 모재의 기계적 성질을 평가할 수 있는 어려움이 있다. 이와 같은 문제점은 나노 압침법에서 사용하는 매우 미세한 Berkovich 형 압침자 대신 조금 큰 Vickers 압침자를 사용하고 하중을 매우 낮은 조건에서 수행하는 준-나노 압침법(quasi-nano-indentation method)으로 개선할 수 있다[4,5].

따라서 본 연구의 목적은 친환경성 고강도 고내식성의 원자로 압력 용기 강을 개발하기 위하여 현재 러시아에서 개발되고 있는 Ni과 Cr의 함량이 미량 다른 15Ch2MFA (Ni<0.4, 2.5<Cr<3.0)와 15Cr2NHFA (Ni<1.0, 0.8<Cr<2.3)강을 미세한 크기로 시편을 제작하고 시험용 원자로에서 중성자 조사시킨 후 표면의 준-나노 경도 (quasi-nano-hardness) 변화와 내식성을 평가하는데 있다. 이를 통하여 조사 후 방사선 폐기물의 양을 줄일 수 있는 신개념의 실험 방법을 설정하고자 한다.

2. 실험 방법

시료는 러시아 IMP (Institute of Metal Physics, RAS)에서 제조한 원자로 압력용기 용(reactor pressure vessel, RPV)용 강재인 15Ch2MFA와 15Cr2NHFA이다. Table 1은 이들 강재의 화학조성이다. 용해 주조 후 열간 압연(hot-rolling)된 15Ch2MFA강과 15Cr2NHFA강을 각각 1000°C와 950°C에서 소입(quenching)된 후 680°C에서 소려(tempering) 처리 되었다. 시편은 직경과 두께가 각각 3×1 [mm] 크기로 방전가공하고 조사시험용 무게장 캡슐 (un-instrumented capsule)에 장착 하였다. 이후 시험용 원자로에서 중성자 조사 시험을 수행 하였다. 중성자 조사 시험 조건은 가압경수로용 압력용기의 사용조건과 시험용 원자로 가동 조건을 320°C, 32일, 최대 중성자 조사량 $4.8 \times 10^{20} \text{ n/cm}^2$ (En>1.0 MeV)로 선정하였다.

방사선 조사선량이 낮아진 후에 조사 후 실험실(post-irradiation facility)에서 미세조직 관찰과 준-나노 경도(quasi-nano-hardness)시험이 수행되었다. 미세 조직은 방전 가공된 원판형 시편은 호마이카로 포장(mounting)하고 400번에서 2000번까지 SiC 연마지로 연삭한 후 1.0 μm에서 0.05 μm까지의 알루미나 분말로 연마하였다. 이후 상온, 10% 피크리산(C₆H₃N₃O₇)으로 10초간 에칭(etching)후 금속현미경(Nikon HFX-DX 114, Japan)을 사용하여 미세 조직을 관찰하였다. 준-나노 경도시험은 극미소 경도시험기(Buehler, MICROMET 6010, USA)를 사용하

여 Hv[10gf] 하중으로 측정하였으며 30회 반복하고 평균값을 취하였다. 부식시험은 정전압 장치(Gamry, Gamry 2000, USA)를 이용하여 수행하였다. 부식용액은 H₂S가 포화된 NACE 표준 TM0284-96에 TM0177-090(NaCl : CH₃COOH : H₂O=50 : 5 : 945)을 첨가한 수용액이었다. N₂(g)로 용존 산소를 1시간 제거시키고 H₂S(g)를 포화시켰다. 부식시험은 25°C, pH=2.7에서 수행되었고 상대전극과 기준전극은 각각 백금(Pt)전극과 SCE(saturated calomel electrode)이었다.

3. 결과 및 고찰

Fig. 1은 15Ch2MFA 강과 15Cr2NHFA강의 3축방향으로의 미세조직 관찰 결과이다. Fig. 1 에서와 같이 15Ch2MFA강과 15Cr2NHFA강은 마르텐사이트(martensite)상과 일부 소려 마르텐사이트(tempered martensite) 상이 관찰되었다. 집합조직은 크게 관찰되지 않았으며 결정립도는 유사하고 평균 입도는 약 18 μm이었다. 15Ch2MFA와 15Cr2NHFA강의 조사 후 평균 준-나노 경도(quasi-nano-hardness)는 각각 188.3과 178.9 Hv로 15Ch2MFA가 15Cr2NHFA강보다 높았으며 중성자 조사 전과 중성자 조사 후 오차 범위에서 유사하였다. 15Ch2MFA가 15Cr2NHFA강보다 높은 이유는 미세조직 관찰에서와 같이 주로 마르텐사이트 조직을 갖고 있기 때문으로 사료된다. 한편 미세조직과 경도값은 조사량이 매우 크면 다르게 관찰될 수 있다. 중성자가 조사된 소재 내부는 원자 공공(vacancy)과 캐스케이드(cascade)에 의하여 격자변형이 될 수 있다[6]. 여기에 조사에 의하여 소재의 온도가 상승하면 조사 결함의 생성과 동시에 열에 의한 조사 손상 회복도 진행될 수 있다. 조사 시험은 보통 약 10¹ n/cm²의 고속 중성자(En≥1MeV) 조건에서 가동되므로 이들에 의한 조사 취화(irradiation embrittlement) 정도는 미세 경도 변화로 나타난다. 하지만 본 실험 결과에 의하면 중성자 조사 전과 중성자 조사 후 준-나노 경도 값이 오차 범위에서 유사하므로 조사 취화 현상은 거의 진행되지 않았음을 예상할 수 있다. 이는 본 연구에서 수행한 중성자 조사 시험조건(320°C, 32일, 중성자 최대 조사량 4.8×10²⁰ n/cm² (En>1.0 MeV))에서 15Ch2MFA강과 15Cr2NHFA강이 내방사성이 있

음을 의미한다.

Fig. 2는 5Ch2MFA와 15Cr2NHFA강의 부식시험 결과이다. Fig. 2에서와 같이 부동태 현상이 관찰되지 않았다. 부동태가 관찰되지 않은 이유는 합금 조성과 관련 있다. Table 1에서와 같이 5Ch2MFA강과 15Cr2NHFA강의 조성을 고려하면 크롬과 니켈량은 각각은 3%와 0.4% 이하와 2.3%와 1.0% 이하로 일반적인 스테인레스 강의 크롬량인 8%보다 적기 때문에 일반 강과 유사한 조성이므로 부동태가 관찰되지 않았다. Table 2는 부식속도와 부식 전압이다. Table 2에서와 같이 15Ch2MFA강과 15Cr2NHFA강의 조사 전과 후의 부식전류와 부식전압은 각각 2.4×10⁻⁴ Acm⁻², -515.9 mV_{SHE} 와

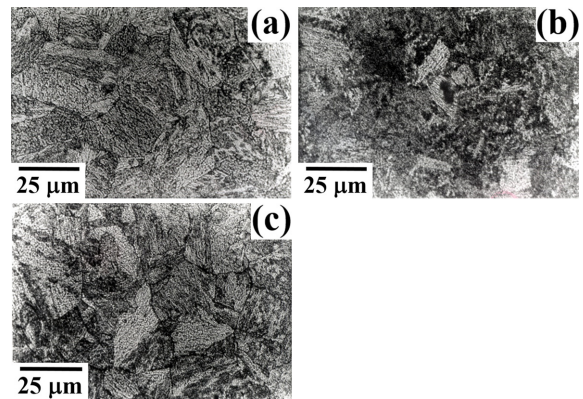


Fig. 1. Microstructure of neutron-irradiated 15Ch2MFA steels with hot rolling direction : (a) transverse (b) short-transverse (c) longitudinal.

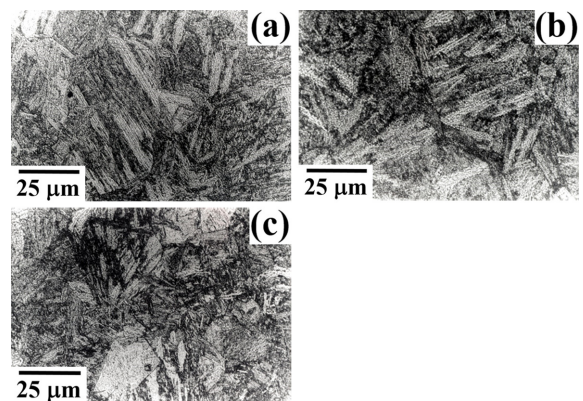


Fig. 2. Microstructure of neutron-irradiated 15Cr2NHFA steels with hot rolling direction : (a) transverse (b) short-transverse (c) longitudinal.

Table 1. Chemical composition of RPV steels [wt.%].

Materials	Mn	Si	C	Cr	Ni	Mo	V	P(max)	S(max)
15Ch2MFA	0.3-0.6	0.17-0.37	0.13-0.18	2.5-3.0	<0.4	0.6-0.8	V<0.25	0.020	0.020
15Cr2NHFA	0.3-0.6	0.17-0.37	0.13-0.18	0.8-2.3	<1.0	0.5-0.7	V<0.1	0.010	0.012

Table 2. Corrosion rate and potential of RPV steels before and after neutron irradiation in NACE standard TM0284-96 solution.

sample #	irradiation	$i_{\text{corr}} (\times 10^{-4} \text{Acm}^{-2})$	$E_{\text{corr}} (\text{mV}_{\text{SHE}})$
15Ch2MFA	before	2.43	-515.8
	after	2.42	-518.9
15Cr2NHFA	before	6.81	-523.6
	after	6.80	-524.7

Table 3. Effects of Cl^- and pH on corrosion rates and potentials RPV steels before and after neutron irradiation in NACE standard TM0284-96 solution with different content of HCl and FeCl_2 at 25°C.

sample #	irradiation	HCl (2000ppm) pH=2.3		FeCl_2 (1000ppm) pH=2.7		FeCl_2 (2000ppm) pH=2.7	
		$i_{\text{corr}} (\times 10^{-4} \text{A/cm}^2)$	$E_{\text{corr}} (\text{mV}_{\text{SHE}})$	$i_{\text{corr}} (\times 10^{-4} \text{A/cm}^2)$	$E_{\text{corr}} (\text{mV}_{\text{SHE}})$	$i_{\text{corr}} (\times 10^{-4} \text{A/cm}^2)$	$E_{\text{corr}} (\text{mV}_{\text{SHE}})$
15Ch2MFA	before	5.72	-472.8	0.93	-564.2	1.83	-504.3
	after	5.75	-478.0	0.94	-570.1	1.80	-505.0
15Cr2NHFA	before	7.40	-483.6	0.43	-575.5	5.41	-521.5
	after	7.46	-484.1	0.44	-570.0	5.38	-522.6

$6.8 \times 10^{-4} \text{Acm}^{-2}$, $-523.6 \text{mV}_{\text{SHE}}$ 로서 오차범위에서 유사하였다. 부식전압은 5Ch2MFA강이 15Cr2NHFA강에 비하여 높았고, 부식 속도는 5Ch2MFA강이 15Cr2NHFA강 보다 작았다. 일반적으로 강을 방사선 조사 시키면 조사량이 매우 클 경우에는 소재 내부에 많은 전위와 원자 크기의 결함을 생성하게 되고 스테인레스 강의 경우에는 결정립계에 크롬 고갈 구역을 형성시켜서 내식성이 저하되고 입계균열이 진행된다[7,8]. 하지만 본 연구에서 수행한 중성자 조사 시험 조건에서는 15Ch2MFA강과 15Cr2NHFA강이 조사 후 정도 차이가 거의 없으며 내식성에 큰 차이를 보이지 않았다. 이는 본 연구에서 수행한 중성자 조사 조건에서는 15Ch2MFA강과 15Cr2NHFA강에 조사 유기 결함(irradiation induced defects)과 크롬 고갈 구역을 형성 시키진 않았음을 의미한다. 한편 부식 속도는 5Ch2MFA강이 15Cr2NHFA강 보다 느리고 부식전압은 5Ch2MFA강이 15Cr2NHFA강에 비하여 높은 원인 중의 하나는 미세조직과 합금원소의 효과로 고려할 수 있다. 두 시편은 마르텐사이트와 일부 소러 마르텐사이트(tempered martensite) 조직을 갖고 결정립도가 유사하므로 미세조직 차이보다는 합금원소 차이가 보다 크게 기여한 것으로 사료된다. 일반적으로 강의 내식성에 미치는 크롬(Cr)의 효과는 함량이 8% 이상으로 높으면 표면에 부동태 크롬 산화물의 막을 잘 형성하여 내식성을 높인다[9,10]. 본 연구에서 사용한 5Ch2MFA강이 15Cr2NHFA강의 조성을 비교하면 두 소재의 내식성 차이는 크롬 함량 차이와 관계있는 것으로 사료된다.

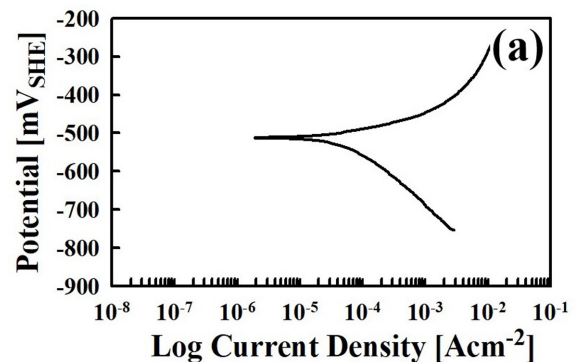


Fig. 3. Polarization curves of neutron-irradiated RPV steels in NACE standard TM0284-96 solution at 25°C : (a) 15Ch2MFA (b) 15Cr2NHFA.

본 연구에서는 응력부식균열의 양극 용해 모델과 수소유기취성 모델에 중요한 영향을 주는 Cl^- 와 H^+ 의 효과를 분석하기 위하여 pH=2.3-2.7, Cl^- 농도가 각각 2000ppm과 4000ppm에서 부식거동을 평가하였다. Table 3은 15Ch2MFA강과 15Cr2NHFA 강의 중성자 조사 전과 조사 후의 부식 시험 결과이다. Table 3에서와 같이 15Ch2MFA강과 15Cr2NHFA강의 조사 전과 후의 부식전류와 부식전압은 염소이온(Cl^-)이 존재하는 경우에도 각각 $5.72 \sim 5.75 \times 10^{-4} \text{Acm}^{-2}$, $-472.8 \sim -478.0 \text{mV}_{\text{SHE}}$ 와 $7.4 \sim 7.46 \times 10^{-4} \text{Acm}^{-2}$, $-483.6 \sim -484.1 \text{mV}_{\text{SHE}}$ 로서 오차범위에서 유사하였다. 또한 Cl^- 량이 일정히 유지시키고 pH를 낮추거나 또는 Cl^- 량이 증가하면 두 시편에 대하여 모두 부식전위와 부식속도가 증가하였다. 이는 용액내의 H^+ 량이 증가와 Cl^- 량 관련 있다. 수소 이온과 염소 이온(Cl^-)

이 부식 속도를 증가시키는 원인은 각각 pH를 낮추거나 염소이온(Cl⁻)에 의한 부동태 피막의 파손과 관련 있다. 철 이온(Fe²⁺) 증가에 의한 부식전압이 증가하는 원인은 용액중의 Fe²⁺량의 증가로 인하여 Fe의 산화전위가 상승하는 양극이온 효과와 관계있다[11,12]. 따라서 320°C, 32일간 중성자 최대조사량 4.8×10²⁰ n/cm² (En>1.0 MeV) 조건으로 중성자 조사된 15Ch2MFA강과 15Cr2NHFA강의 조사 후 황화수소가 포화된 초산이 첨가된 수용액에서의 내식성은 Cl⁻량이 증가하거나 pH가 낮아지면 감소하였고 pH에 보다 의존하였다.

5. 결 론

친환경성 고강도 고내식성의 원자로 압력 용기 강을 개발하고, 방사선 폐기물 량을 줄이는 신개념의 원자로용 소재 평가 방법을 정립하기 위하여 Ni와 Cr의 함량이 미량 다른 15Ch2MFA (Ni<0.4, 2.5<Cr<3.0)와 15Cr2NHFA (Ni<1.0, 0.8<Cr<2.3) 강의 미세한 시편을 사용하여 중성자 조사시험 후 준-나노 경도와 내식성을 평가하고 다음을 얻었다.

1. 320°C, 32일간, 중성자 최대 조사량 4.8×10²⁰ n/cm² (En>1.0 MeV)의 조사 시험된 15Ch2MFA강과 15Cr2NHFA강의 평균 준-나노 경도는 각각 188.3과 178.9 Hv로 15Ch2MFA가 15Cr2NHFA강 보다 높았다.

2. 15Ch2MFA강과 15Cr2NHFA강의 조사 후 부식 전류와 부식전압은 각각 2.4×10⁻⁴ Acm⁻², -515.9 mV_{SHE}와 6.8×10⁻⁴ Acm⁻², -523.6 mV_{SHE} 범위이었다. 부식 속도는 15Ch2MFA강이 15Cr2NHFA강 보다 느리고 부식전압은 15Ch2MFA강이 15Cr2NHFA강에 비하여 높았다.

3. 15Ch2MFA강과 15Cr2NHFA강의 조사 후 초산과 황화수소가 포화된 수용액에서 Cl⁻량이 증가하고 pH가 낮아지면 내식성은 감소하였고 pH에 보다 의존하였다.

감사의 글

자자는 본 연구를 위하여 기술적 도움과 이론적 자문을 준 러시아 IMP(Institute of Metals Physics, RAS)의 Dr. Pirogov에게 감사드립니다.

참고문헌

[1] W. Dietz, "Structural Materials of Nuclear Power Plant", Materials Science Technology, 10B (1994)

- 101-178.
- [2] Barry W. Brook, Agustin Alonso, Daniel A. Meneley, Jozef Misak, Tom Bles, Jan B. van Erp, "Why Nuclear Energy is Sustainable and Has to be Part of the Energy Mix", Sustainable Materials and Technologies, 1 (2014) 8-16.
- [3] Duck-Gun Park, Jun-Hwa Hong, Chi-II Ok, Jang-Whan Kim, H.C. Kim, "Changes in Magnetic Properties of Neutron Irradiated RPV Steel", IEEE Transactions on Magnetics, 34(4) (1998) 2036-2038.
- [4] F. Röder, C. Heintze, S. Pecko, S. Akhmadaliev, F. Bergner, "Nano-indentation of Ion-irradiated Reactor Pressure Vessel Steels-Model-based Interpretation and Comparison with Neutron Irradiation", Philosophical Magazine, 98(11) (2018) 911-933.
- [5] Peter Hosemann, Daniel Kiener, Yongqiang Wang, Stuart A. Maloy, "Issues to Consider using Nano-indentation on Shallow Ion Beam Irradiated Materials", Journal of Nuclear Materials, 425(1) (2012) 136-139.
- [6] G.R. Odette, G.E. Lucas. "Embrittlement of Nuclear Reactor Pressure Vessels", JOM, 53(7) (2001) 18-22.
- [7] Ping Deng, Qunjia Peng, En-Hou Han, Wei Ke, Chen Sun, Zhijie Jiao, "Effect of Irradiation on Corrosion of 304 Nuclear Grade Stainless Steel in Simulated PWR Primary Water", Corrosion Science, 127 (2017) 91-100.
- [8] Hiroyuki Kaneko, Tokiko Nakagawa, Kousei Hiraizumi, Ryo Sakai, "Accelerated Corrosion Tests of Nuclear Reactor Pressure Vessel Materials in NaClH₃BO₃ Solutions", Materials Transactions, 54(5) (2013) 755-764.
- [9] Markus O Speidel, Ruth M Magdowski, "Stress Corrosion Cracking of Nuclear Reactor Pressure Vessel and Piping Steels", International Journal of Pressure Vessels and Piping, 34(1) (1988) 119-142.
- [10] Koji Fukuya, "Current Understanding of Radiation-induced Degradation in Light Water Reactor Structural Materials", Journal of Nuclear Science and Technology, 50(3) (2013) 213-254.
- [11] N. Saito, S. Tanaka, H. Sakamoto, "Effect of Corrosion Potential and Microstructure on the Stress Corrosion Cracking Susceptibility of Nickel-Base Alloys in High-Temperature Water", Corrosion Science, 59(12) (2003) 1064-1074.
- [12] Dong Bok Lee, Min Jung Kim, Poonam Yadav, Xiao Xiao, "Corrosion of Fe-Cr Steels at 600-800°C in NaCl Salts", Journal of The Korean Institute of Surface Engineering, 51(6) (2018) 354-359.